

СИНТЕЗ МИКРОПРОГРАММНЫХ АВТОМАТОВ НА FPGA

Красичков А.А.

Донецкий национальный технический университет,

кафедра ЭВМ

E-mail: Krasich@cs.dgtu.donetsk.ua

Abstract. *Krasichkov A.A. The method of Mealy FSM's synthesis on FPGA based on functional decomposition is proposed. Given method allows reducing the number of CLBs in respect to standard methods. An example of application of the proposed method is given.*

Введение. В настоящее время микросхемы программируемой логики с архитектурой FPGA (Field Programmable Gate Arrays — программируемые пользователем вентильные матрицы) получили широкое распространение [1]. Данная архитектура кардинально отличается от известных ранее программируемых логических устройств (ПЛУ). В отличие от программируемых логических матриц (ПЛИМ) и программируемых матриц логики (ПМЛ), основу которых составляют вентили «И», «ИЛИ» и «НЕ» с фиксированным числом входов [2], микросхемы FPGA содержат большое число одинаковых конфигурационных логических блоков (КЛБ) с небольшим числом входов, соединенных программируемыми трассировочными ресурсами. Каждый КЛБ может реализовать любую булеву функцию (БФ) от R переменных, где R — число его входов. Проектирование микропрограммных автоматов (МПА) в базисе КЛБ требует специфичных методов синтеза, ориентированных на особенности базиса, поскольку число входов КЛБ всегда значительно меньше, чем число аргументов реализуемых БФ, и стандартные методы синтеза, применявшиеся ранее при реализации МПА [3], в данном случае не подходят. В настоящей работе предлагается метод синтеза МПА Мили на FPGA, основанный на функциональной декомпозиции булевых функций.

Основные положения. Пусть автомат Мили задан прямой структурной таблицей (ПСТ) со столбцами [4]:

a_m — исходное состояние автомата, $a_m \in A$, где $A = \{a_1, \dots, a_M\}$ — множество состояний автомата; $K(a_m)$ — код состояния a_m разрядности $R = \lceil \log_2 M \rceil$, для ко-

дирования используются внутренние переменные $T_r \in T = \{T_1, \dots, T_R\}$; $a_s, K(a_s)$ — состояние перехода и его код; $\overline{X_h}$ — входной сигнал, определяющий переход $\langle a_m, a_s \rangle$ и равный конъюнкции некоторых элементов (или их отрицаний) множества логических условий $X = \{x_1, \dots, x_L\}$; Y_h — набор микроопераций, формируемых на переходе $\langle a_m, a_s \rangle$, $Y_h \subseteq Y$, где $Y = \{y_1, \dots, y_N\}$ — множество микроопераций; D_h — набор функций возбуждения памяти автомата, принимающих единичные значения для переключения памяти из $K(a_m)$ в $K(a_s)$, $D_h \subseteq D$, где $D = \{D_1, \dots, D_R\}$ — множество функций возбуждения; $h = \overline{1, H}$ — номер перехода. Эта таблица является основной для синтеза автомата Мили.

Традиционно для реализации на ПЛУ используется структура МПА Мили без дешифратора (Рис.1, а).

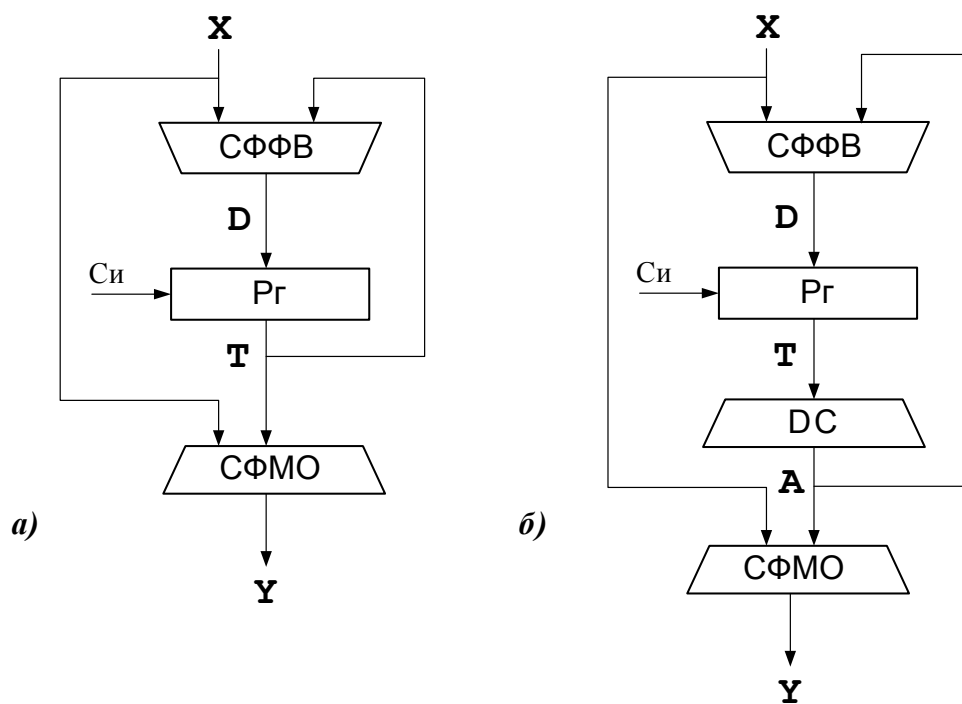


Рисунок 1 — Структуры МПА Мили

Здесь СФФВ — схема формирования функций возбуждения $D_h \subseteq D$, Рг — регистр кода состояния T , СФМО — схема формирования микроопераций $Y_h \subseteq Y$. Схемы СФФВ и СФМО строятся по системам функций (1) и (2) соответственно.

$$D_i = \bigvee_{h=1}^H \left(\bigwedge_{r=1}^R T_r^{l_{mr}} \right) \& \bigwedge_{l=1}^L x_l^{E_{lh}}, \quad (1)$$

$$y_n = \bigvee_{h=1}^H \left(\bigwedge_{r=1}^R T_r^{l_{mr}} \right) \& C_{nh} \& \bigwedge_{l=1}^L x_l^{E_{lh}}, \quad (2)$$

где $l_{mr} \in \{0, 1, *\}$, $T_r^0 = \bar{T}_r$, $T_r^1 = T_r$, $T_r^* = 1$, $E_{lh} \in \{0, 1, *\}$, $x_l^0 = \bar{x}_l$, $x_l^1 = x_l$, $x_l^* = 1$, C_{nh} — булева переменная, равная единице, если и только если в h -й строке ПСТ записана переменная $y_n \in Y_h$.

Системы (1)–(2) наиболее эффективно реализуются на ПЛИМ или ПМЛ [2]. Однако для реализации на FPGA целесообразнее использовать структуру МПА Мили с дешифратором DC (Рис.1, б), исходя из следующих соображений.

Основой для реализации БФ в FPGA являются КЛБ с R входами [1]. В зависимости от модели ИС FPGA $R = \overline{2,5}$, тогда как число аргументов БФ проектируемых систем на порядок выше. Поэтому, для реализации БФ P аргументов в базе КЛБ с R входами, необходимо представить ее в виде совокупности подфункций M аргументов, причем $M \leq R$ [5]. Приведение функции к такому виду называется функциональной декомпозицией и может быть выполнено множеством методов, обычно трудно реализуемых при больших значениях P [1].

Уравнения системы (1) представляют собой ДНФ с большим числом элементарных конъюнкций в каждом терме. Так, при $L=10$, $M=1000$ ($R=10$) число переменных в каждом терме может достигать $L+R=20$, при этом, число термов может достигать для автоматов реальной сложности несколько тысяч. Для их реализации на FPGA необходимо выполнять декомпозицию, которая, как правило, приводит к значительному ветвлению блоков КЛБ в СФФВ. Оптимизация в этом случае возможна лишь за счет использования совпадающих конъюнк-

тивных термов $\bigwedge_{r=1}^R T_r^{l_{mr}}$ для разных разрядов D_i .

Для МПА Мили с дешифратором схемы СФФВ и СФМО строятся по системам функций (3) и (4) соответственно.

$$D_i = \bigvee_{h=1}^H (A_m^h \& \bigwedge_{l=1}^L x_l^{E_{lh}}), \quad (3)$$

$$y_n = \bigvee_{h=1}^H (A_m^h \& C_{nh} \& \bigwedge_{l=1}^L x_l^{E_{lh}}), \quad (4)$$

где A_m^h — конъюнкция внутренних переменных, соответствующая коду исходного состояния a_m из h -й строки ПСТ, реализуемая схемой дешифратора DC.

При реализации систем (3)–(4) на FPGA число обратных связей между DC и схемами СФФВ и СФМО в $2^R/R$ раз больше, чем для систем (1)–(2), одна-

ко трассировочные ресурсы FPGA ориентированы на реализацию схем с большим числом межсоединений КЛБ. Кроме того, дешифратор исключает необходимость оптимизации схемы по переменным T_r и уменьшает число аргументов в формулах систем (3)–(4), что упрощает их последующую декомпозицию.

Пример применения метода. Пусть МПА Мили задан прямой структурной таблицей (Табл.1) и необходимо реализовать его в виде структуры с дешифратором на FPGA с $R=4$. Полученные из ПСТ уравнения функций возбуждения и микроопераций имеют следующий вид:

$$D_1 = a_1 x_1 x_2 \bar{x}_3 \vee a_2 \bar{x}_4 \vee a_4 \bar{x}_4 x_2 \bar{x}_3 \vee a_3;$$

$$D_2 = a_1 x_1 x_2 x_3 \vee a_1 x_1 \bar{x}_2 \vee a_2 x_4 \vee a_2 \bar{x}_4 \bar{x}_2 \vee a_4 \bar{x}_4 x_2 x_3;$$

$$D_3 = a_1 \bar{x}_1 \vee a_2 x_1 \bar{x}_2 \vee a_4 \bar{x}_4 \bar{x}_2 \vee a_0;$$

$$y_1 = a_0 \vee a_1 \bar{x}_1 \vee a_1 x_1 x_2 \bar{x}_3 \vee a_2 \bar{x}_4 \vee a_4 \bar{x}_4 x_2 \bar{x}_3 \vee a_3;$$

$$y_2 = a_0 \vee a_1 \bar{x}_1 \vee a_1 x_1 \bar{x}_2 \vee a_4 \bar{x}_4 \bar{x}_2;$$

$$y_3 = a_1 x_1 \bar{x}_2 \vee a_4 \bar{x}_4 \bar{x}_2;$$

$$y_4 = a_1 x_1 x_2 x_3 \vee a_4 \bar{x}_4 x_2 x_3.$$

Таблица 1 — Прямая структурная таблица МПА Мили

a_m	$K(a_m)$	a_s	$K(a_s)$	X_h	Y_h	D_1	D_2	D_3	H
a_0	000	a_1	001	1	y_1, y_2	0	0	1	1
a_1	001	a_1	001	\bar{x}_1	y_1, y_2	0	0	1	2
		a_2	010	$x_1 x_2 x_3$	y_4	0	1	0	3
		a_3	011	$x_1 \bar{x}_2$	y_2, y_3	0	1	1	4
		a_4	100	$x_1 x_2 \bar{x}_3$	y_1	1	0	0	5
a_2	010	a_2	010	x_4	y_5	0	1	0	6
		a_4	100	\bar{x}_4	y_1	1	0	0	7
a_3	011	a_4	100	1	y_1	1	0	0	8
a_4	100	a_0	000	x_4	y_5	0	0	0	9
		a_2	010	$x_2 x_3 \bar{x}_4$	y_4	0	1	0	10
		a_3	011	$\bar{x}_2 \bar{x}_4$	y_2, y_3	0	1	1	11
		a_4	100	$\bar{x}_2 x_3 \bar{x}_4$	y_1	1	0	0	12

Все уравнения имеют одинаковую структуру, поэтому рассмотрим, например, реализацию на КЛБ функции y_2 . Для удобства обозначим аргументы функции литерами a, b, c, d, e и f : $y_2 = a \vee b\bar{c} \vee bcd \vee e\bar{d}\bar{f}$. Функция зависит от 6 аргументов, поэтому выполнить декомпозицию при помощи карт Карно не представляется возможным [5]. Выполним декомпозицию, применив разложение Шеннона, представив функцию в виде:

$$y_2 = F[a, b, c, G(d, e, f)]. \quad (5)$$

При выполнении такого представления функция будет реализована на двух КЛБ. Для того чтобы (5) имело место, необходимо выполнить разложение Шеннона для y_2 по аргументам a, b, c так, чтобы 8 полученных подфункций от аргументов d, e и f произвольным образом делились на два класса, в каждом из которых функции равны. Разложение представлено в табл.2. При таком выборе аргументов разложение не имеет места, поскольку подфункции разбиваются не на два, а на три класса: $\{g_0, g_1\}$, $\{g_3\}$ и $\{g_2, g_4, g_5, g_6, g_7\}$.

Таблица 2 — Разложение y_2 по аргументам a, b и c

abc	000	001	010	011	100	101	110	111
def	g_0	g_1	g_2	g_3	g_4	g_5	g_6	g_7
000	0	0	1	1	1	1	1	1
001	0	0	1	1	1	1	1	1
010	1	1	1	1	1	1	1	1
011	0	0	1	1	1	1	1	1
100	0	0	1	0	1	1	1	1
101	0	0	1	0	1	1	1	1
110	0	0	1	0	1	1	1	1
111	0	0	1	0	1	1	1	1

Далее необходимо производить разложение по всем оставшимся комбинациям из трех аргументов до тех пор, пока разложение не будет иметь место. Всего

в нашем случае существует $C_6^3 = \frac{6!}{3!(6-3)!} = 20$ различных вариантов разложения.

В том случае, если среди всех комбинаций ни одна не привела к искомому разложению, то можно попытаться представить функцию в следующем виде:

$$y_2 = F[G(a, c, d), b, d, e, f], \quad (6)$$

то есть с общим аргументом d . В этом случае функция также будет реализована на двух КЛБ. Выполним разложение Шеннона для y_2 по аргументам b, d, e, f (Табл.3). В результате разложения получены функции $g_0 - g_{15}$ от аргументов a, c и d . Звездочками в таблице отмечены несуществующие значения функций g_i , поскольку в этих случаях значения аргумента d в левой и верхней частях таблицы не совпадают. Используя эти неопределенности можно привести функции к двум классам:

$$\begin{aligned} \{g_0, g_1, g_3 - g_7\} &= a; \\ \{g_2, g_8 - g_{15}\} &= \overline{acd}. \end{aligned}$$

Функция G находится как дизъюнкция подфункций g_i , относящихся к одному из классов: $G = g_0 \vee g_1 \vee g_3 \vee g_4 \vee g_5 \vee g_6 \vee g_7 = \overline{b}e \vee \overline{b}d \vee \overline{b}f$. Функция y_2 имеет следующий вид:

$$y_2 = a \& G \vee \overline{acd} \& \overline{G}. \quad (7)$$

Таблица 3 — Разложение y_2 по аргументам a, c и d

$bdef$	0000	0001	0010	0011	0100	0101	0110	0111	1000	1001	1010	1011	1100	1101	1110	1111
acd	g_0	g_1	g_2	g_3	g_4	g_5	g_6	g_7	g_8	g_9	g_{10}	g_{11}	g_{12}	g_{13}	g_{14}	g_{15}
000	0	0	1	0	*	*	*	*	1	1	1	1	*	*	*	*
001	*	*	*	*	0	0	0	0	*	*	*	*	1	1	1	1
010	0	0	1	0	*	*	*	*	1	1	1	1	*	*	*	*
011	*	*	*	*	0	0	0	0	*	*	*	*	0	0	0	0
100	1	1	1	1	*	*	*	*	1	1	1	1	*	*	*	*
101	*	*	*	*	1	1	1	1	*	*	*	*	1	1	1	1
110	1	1	1	1	*	*	*	*	1	1	1	1	*	*	*	*
111	*	*	*	*	1	1	1	1	*	*	*	*	1	1	1	1

После обратной замены литер на аргументы и упрощения полученного выражения получаем:

$$y_2 = a_0 \vee \overline{x_1 x_2} \& \overline{G} = a_0 \vee \overline{x_1 x_2} \& [\overline{a_1} \& (\overline{a_4} \vee x_2 \vee x_4)].$$

Реализация функции y_2 в виде (7) на КЛБ представлена на рис.2.

Заключение. Исследования автора показали, что по сравнению с известными методами, предложенный метод приводит к минимальной по числу КЛБ схеме микропрограммного автомата Мили. При этом схема автомата с дешифратором состояний требует в среднем на 15-20% меньше блоков КЛБ, чем ав-

томат без дешифратора. Предлагаемые методы декомпозиции могут быть использованы при создании отечественных САПР цифровых устройств на микросхемах программируемой логики с архитектурой FPGA.

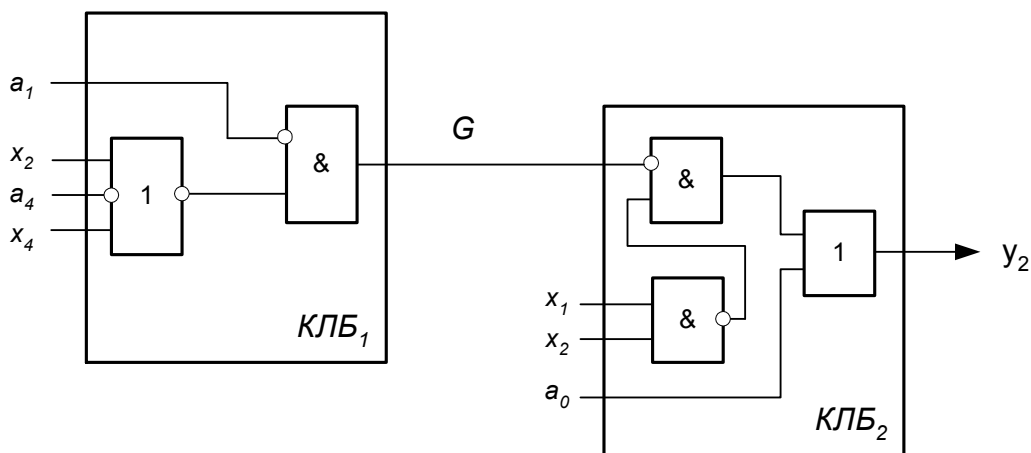


Рисунок 2 — Реализация функции y_2 на КЛБ

Литература

1. Грушвицкий Р.И., Мурсаев А.Х., Угрюмов Е.П. Проектирование систем на микросхемах программируемой логики. — СПб.: БХВ-Петербург, 2002. — 608с.
2. Соловьев В.В. Проектирование функциональных узлов цифровых систем на программируемых логических устройствах. — Минск: Бестпринт, 1996 — 252с.
3. Складаров В.А. Синтез автоматов на матричных БИС. — Минск: Наука и техника, 1984 — 287с.
4. Баранов С. И. Синтез микропрограммных автоматов. — Л.: Энергия, 1979. — 232с.
5. Баркалов А.А., Красичков А.А. Методы декомпозиции булевых функций.// Научные труды ДонНТУ. Серия: ИКВТ-2002, выпуск 39. — Донецк: ДонНТУ, 2002.

Сдано в редакцию: 28.02.2003г.

Рекомендовано к печати: д.т.н., проф. Баркалов А.А.